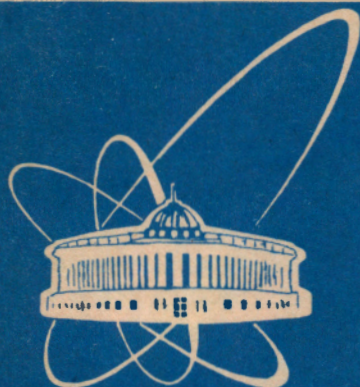


95-33



ОБЪЕДИНЕННЫЙ
ИНСТИТУТ
ЯДЕРНЫХ
ИССЛЕДОВАНИЙ

Дубна

P2-95-33

И.В.Аникин, М.А.Иванов, В.Е.Любовицкий

ПРОВЕРКА НЕРАВЕНСТВА БЪЕРКЕНА — ХУ
ДЛЯ ФУНКЦИЙ ИЗГУРА — ВАЙЗЕ
ТЯЖЕЛЫХ БАРИОНОВ

Направлено в журнал «Ядерная физика»

1995

1 Введение

Слабые распады тяжелых адронов являются уникальным инструментом для определения элементов матрицы Кабиббо-Кобаяши-Маскава, изучения внутренней структуры адронов, а также исследования явлений, лежащих вне рамок стандартной модели.

Рост интереса к такого рода процессам связан, в первую очередь, с появлением новых возможностей в экспериментальных исследованиях в области физики промежуточных энергий. Длительное время экспериментальные программы были направлены на изучение процессов с участием тяжелых мезонов [1], [2], [3] и очарованных барионов [4], [5]. Однако за последние несколько лет наметился заметный прогресс в изучении процессов с участием прелестных барионов. В частности, в CERN на протон-антипротонном коллайдере впервые наблюдался Λ_b -барион в распаде $\Lambda_b \rightarrow J/\Psi \Lambda$ [6]. Группой ALEPH и OPAL на LEP исследовались полулептонные распады Λ_b - барионов: $\Lambda_b \rightarrow \Lambda_c X e \nu$ [7, 8]. Исследования процесса рождения Λ_b - бариона в распадах Z^0 - бозона и измерение его времени жизни были выполнены коллаборацией DELPHI [9]. В рамках выполненных экспериментов удалось извлечь полезную информацию о физических свойствах тяжелых адронов. Были измерены массы и времена жизни тяжелых адронов, а также брэнчнги слабых распадов и поляризационные характеристики.

С теоретической точки зрения столь живой интерес к исследованию слабых распадов тяжелых адронов связан, главным образом, с открытием нового вида симметрии - спин-флэйворной симметрии в мире тяжелых кварков (симметрия Изгура- Вайзе) [10, 11] и разработкой эффективной теории тяжелых кварков (HQET) [10]-[19] - пертурбативной вычислительной схемы для исследований свойств адронов, содержащих один тяжелый кварк. Симметрия Изгура-Вайзе проявляется в предельном случае, когда массы тяжелых кварков стремятся к бесконечности: $m_Q \rightarrow \infty, Q = b, c$ (предел Изгура-Вайзе).

Важным динамическим следствием симметрии Изгура-Вайзе явились групповые соотношения между релятивистскими формфакторами слабых распадов тяжелых адронов [10], [11]. В работах Изгура и Вайзе было

показано [10], что формфакторы слабых распадов B -мезона $B \rightarrow D \ell \nu$ и $B \rightarrow D^* \ell \nu$ выражаются через универсальную функцию $\xi(\omega)$ (мезонная функция Изгура-Вайзе), где кинематическая переменная ω представляет собой скалярное произведение 4-скоростей начального и конечного адронов. Явный вид мезонной функции Изгура-Вайзе был получен в модели валентных кварков [20], релятивистской осцилляторной модели [21], модели конфайнированных кварков [22], [23] а также в рамках правил сумм КХД [24].

Амплитуды полулептонных распадов барионов имеют более сложную спиновую структуру, чем амплитуды аналогичных процессов с участием тяжелых мезонов. Инвариантный матричный элемент полулептонных распадов тяжелых барионов $B_b(p) \rightarrow B_c(p') + \ell(k_1) + \bar{\nu}_\ell(k_2)$, идущих с изменением аромата $b \rightarrow c$, записывается в стандартном виде

$$M(B_b \rightarrow B_c \ell \bar{\nu}_\ell) = \frac{G_F}{\sqrt{2}} V_{bc} \ell^\mu(q) J_\mu(v, v') \quad (1)$$

где $G_F \simeq 1.166 \text{ ГэВ}^{-2}$ - константа Ферми, ℓ^μ - слабый лептонный ток, $J_\mu(v, v')$ слабый адронный ток, V_{bc} - матричный элемент матрицы Кобаяши-Маскава, v и v' - 4-х скорости тяжелых барионов в начальном и конечном состоянии, соответственно. Слабая спиновая матрица выбирается согласно гипотезе о левой структуре (левой киральности) слабого заряженного кваркового тока

$$O_\mu = \gamma_\mu (1 + \gamma_5) \quad \gamma_5 = \begin{pmatrix} 0 & -I \\ -I & 0 \end{pmatrix} \quad (2)$$

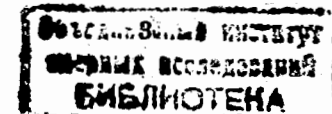
Слабые адронные токи $J_\mu(v, v')$ представляют собой линейные комбинации релятивистских формфакторов, зависящих от кинематической величины ω :

$$\omega = \frac{pp'}{M_{B_b} M_{B_c}} = \frac{M_{B_b}^2 + M_{B_c}^2 - q^2}{2M_{B_b} M_{B_c}} \quad (3)$$

Для переходов $\frac{1}{2}^+ \rightarrow \frac{1}{2}^+$ ($\Lambda_b \rightarrow \Lambda_c, \Sigma_b \rightarrow \Sigma_c$), рассматриваемых в данной работе, токи $J_\mu(v, v')$ удобно параметризовать следующим образом

$$\begin{aligned} J_\mu(v, v') &= \bar{u}_f(v') \Lambda_\mu(v, v') u_i(v), \\ \Lambda_\mu(v, v') &= F_1(\omega) \gamma_\mu + F_2(\omega) v_\mu + F_3(\omega) v'_\mu \\ &\quad + G_1(\omega) \gamma_\mu \gamma_5 + G_2(\omega) v_\mu \gamma_5 + G_3(\omega) v'_\mu \gamma_5 \end{aligned} \quad (4)$$

Здесь $F(G)$; ($i = 1...3$) - искомые формфакторы полулептонных распадов тяжелых барионов.



В работе [25] впервые были получены модельно-независимые соотношения между формфакторами барионов, описывающие переход $\frac{1}{2}^+ \rightarrow \frac{1}{2}^+$. Было показано, что в пределе Изгура-Вайзе формфакторы тяжелых барионов удовлетворяют групповым соотношениям и выражаются через три неизвестных универсальных функции: $\zeta(\omega)$, $\eta(\omega)$ и $\iota(\omega)$ [26]. Так матричный элемент, соответствующий распаду $\Lambda_b \rightarrow \Lambda_c(\ell\bar{\nu}_\ell)$, имеет вид

$$\langle \Lambda_c(v') | J_\mu(v, v') | \Lambda_b(v) \rangle \propto \zeta(\omega) \bar{u}_{\Lambda_c}(v') \gamma_\mu (1 + \gamma_5) u_{\Lambda_b}(v) \quad (5)$$

Для распада $\Sigma_b \rightarrow \Sigma_c(\ell\bar{\nu}_\ell)$ матричный элемент имеет более сложную структуру:

$$\langle \Sigma_c(v') | J_\mu(v, v') | \Sigma_b(v) \rangle \propto \bar{u}_{\Sigma_c}(v') \Gamma_\mu^{\Sigma_c \Sigma_b}(v, v') u_{\Sigma_b}(v) \quad (6)$$

где

$$\Gamma_\mu^{\Sigma_c \Sigma_b} = -\frac{1}{6} \gamma_\mu (1 + \gamma_5) (2\omega \eta(\omega) + (\omega - 1) \iota(\omega)) + (v' + v)_\mu \frac{2}{3} \eta(\omega) + (v - v')_\mu \gamma_5 \frac{2}{3} (\eta(\omega) + \iota(\omega)) \quad (7)$$

Полулептонные распады Λ_Q - и Σ_Q -барионов рассматривались также в рамках правил сумм КХД [27], в перелативистской кварковой модели [28]. Кроме этого, вышеуказанные распады исследовались в различных кварковых моделях, в основе которых лежит представление о барионе как связанном состоянии, состоящем из кварка и дикуарка. При этом для волновых функций барионов использовались волновые функции в т. н. системе бесконечного импульса [29], [30]. Функции Изгура-Вайзе распадов $\Lambda_b \rightarrow \Lambda_c$, $\Sigma_b \rightarrow \Sigma_c$ были вычислены в рамках модели МКК [23].

В работе [31] получены правила сумм Бьеркена, исходя из которых можно вывести модельно-независимые ограничения на формфакторы полулептонных распадов Ω -барионов, $\Omega_b \rightarrow \Omega_c(\Omega_c^* \ell \bar{\nu}_\ell)$. (неравенство Бьеркена-Ху). Так в терминах функций Изгура-Вайзе $\eta(\omega)$, $\iota(\omega)$ неравенство Бьеркена-Ху имеет вид

$$1 \geq \frac{2 + \omega^2}{3} \eta^2(\omega) + \frac{(\omega - 1)^2}{4} \iota^2(\omega) - \frac{(\omega - 1)(2 - \omega)}{3} \eta(\omega) \iota(\omega)$$

Кроме того, для радиуса ρ_1 формфактора $\eta(\omega)$ также возникает ограничивающее условие:

$$\rho_1^2 \geq \frac{1}{3} - \frac{1}{6} \iota(1) \quad (8)$$

В модели МКК при использовании кварк-дикуарковой аппроксимации [32] было получено, что все формфакторы полулептонных распадов $\Lambda_b \rightarrow \Lambda_c$, $\Sigma_b \rightarrow \Sigma_c$ в пределе Изгура-Вайзе являются линейными комбинациями универсальной функции $\Phi(\omega)$, которая имеет вид:

$$\Phi(\omega) \equiv \zeta(\omega) = \frac{\ln(\omega + \sqrt{\omega^2 - 1})}{\sqrt{\omega^2 - 1}} \quad (9)$$

Подставляя в неравенство (9) результаты МКК для $\eta(\omega) = \Phi(\omega)$, $\iota(\omega) = -2\Phi(\omega)$, получим ограничение сверху на функцию $\Phi(\omega)$

$$\Phi^2(\omega) \leq \frac{3}{1 + 2\omega^2} \quad (10)$$

и, как следствие, ограничение на ее радиус ρ

$$\rho^2 \geq \frac{2}{3} \quad (11)$$

Как нетрудно убедиться, функция $\Phi(\omega)$ не удовлетворяет условию (12). В связи с этим, целью предлагаемой работы является модификация модели МКК, для того чтобы получить:

- "мягкое" поведение функции $\zeta(\omega)$ распада $\Lambda_b \rightarrow \Lambda_c$,
- согласие с модельно-независимыми выводами правил сумм Бьеркена для функций $\eta(\omega)$, $\iota(\omega)$ распада $\Sigma_b \rightarrow \Sigma_c$ ($\Omega_b \rightarrow \Omega_c$).

Для достижения поставленной задачи

- тяжелые Λ_Q - и Σ_Q - барионы рассматриваются как трехкварковые состояния

- исходя из представлений эффективной теории тяжелых кварков о том, что в пределе Изгура-Вайзе тяжелый кварк находится вблизи своей массовой поверхности (наступает инфракрасный режим), в качестве первого приближения для пропагатора тяжелого кварка используется результат абелевой теории (так называемый "инфрапропагатор"):

$$S_{inf}(p) = (m - \hat{p})^{-1} (1 - p^2/m^2)^{-\nu},$$

где ν -инфракрасный параметр, $p^\mu = (M_Q + \bar{\Lambda})v^\mu$ а $\bar{\Lambda}$ - разность масс M_{B_Q} тяжелого бариона и m_Q тяжелого кварка.

2 Структура тяжелых барионов в МКК

Исходной точкой при описании полулептонных распадов тяжелых барионов в МКК являются лагранжианы взаимодействия барионов с кварковыми полями

$$\mathcal{L}_B(x) = g_B \bar{B}_\alpha(x) J_B^\alpha(x) + h.c. \quad (12)$$

где α , a и i - соответственно, спиновые, цветовые и ароматические индексы, g_B константа связи, J_B^α - трехкварковый ток с соответствующими квантовыми числами бариона B [23], [33], [34]:

$$J_B^\alpha(x) = R_{\alpha_1 \alpha_2 \alpha_3}^{i_1 i_2 i_3, \alpha} q_{i_1 \alpha_1}^{a_1}(x) q_{i_2 \alpha_2}^{a_2}(x) q_{i_3 \alpha_3}^{a_3}(x) \varepsilon^{a_1 a_2 a_3} \quad (13)$$

здесь $R_{\alpha_1 \alpha_2 \alpha_3}^{i_1 i_2 i_3, \alpha}$ произведение матриц спина и аромата.

Для барионов с квантовыми числами $\frac{1}{2}^+$ (Λ_Q , Σ_Q) трехкварковый ток имеет две равноправные формы, - тензорную и векторную. В данной работе мы будем использовать тензорный вариант

$$J_{\Lambda_Q} = \varepsilon^{abc} \cdot [Q^a(u^b C \gamma^5 d^c) + \gamma^5 Q^a(u^b C d^c)], \quad (14)$$

$$J_{\Sigma_Q} = \varepsilon^{abc} \cdot \sigma^{\mu\nu} \gamma_5 [Q^a(u^b C \sigma^{\mu\nu} d^c)] \quad (15)$$

$C = \gamma^0 \gamma^2$ - матрица зарядового сопряжения; $Q = b, c$.

Константа связи g_B может быть вычислена из условия связности [23], которое означает, что константа перенормировки волновой функции бариона равна нулю:

$$Z_B = 1 + \frac{3g_B^2}{4\pi^2} \Pi'_B(m_B) = 0 \quad (16)$$

где Π'_B - производная массового оператора, m_B - масса бариона. Массы адронов рассматриваются как входные параметры модели и берутся из таблиц "Particle Data Group" [35]. Важно отметить, что условие связности полностью эквивалентно условию нормировки электромагнитного формфактора бариона $F_{em}(q^2 = 0) = 1$, обладающего электрическим зарядом ± 1 .

Полулептонные распады тяжелых барионов описываются в МКК диаграммой, изображенной на рис.1, соответствующие вершинные части

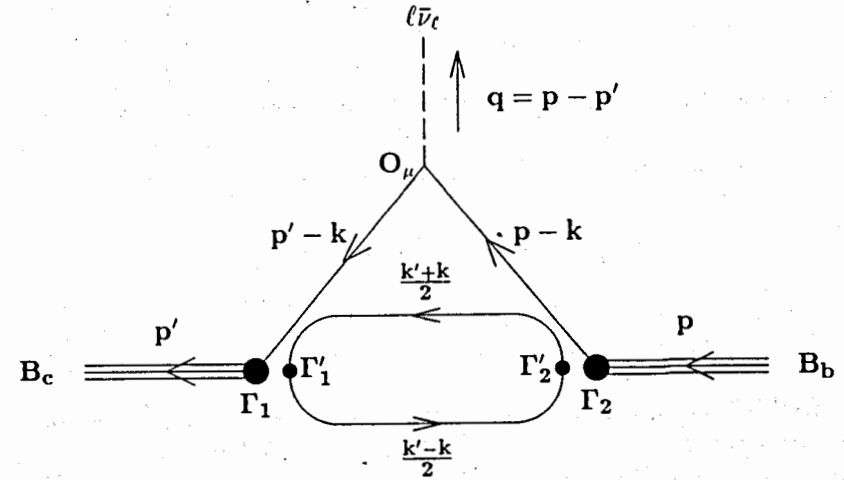


Рис.1

выглядит следующим образом:

$$\Lambda_\mu^{(\Lambda)}(v, v') \propto \frac{g_{\Lambda_b} g_{\Lambda_c}}{(16\pi^2)^2} \int \frac{d^4 k}{\pi^2 i} \{ S_c(p' - k, \nu) O_\mu S_b(p - k, \nu) \Pi_{PP}(k) + \gamma^5 S_c(p' - k, \nu) O_\mu S_b(p - k, \nu) \gamma^5 \Pi_{SS}(k) \}, \quad (17)$$

$$\Lambda_\mu^{(\Sigma)}(v, v') \propto \frac{g_{\Sigma_b} g_{\Sigma_c}}{(16\pi^2)^2} \int \frac{d^4 k}{\pi^2 i} \gamma_5 \sigma^{\alpha\beta} S_c(p' - k, \nu) O_\mu S_b(p - k, \nu) \gamma_5 \sigma^{\gamma\delta} \Pi_{TT}^{\alpha\beta\gamma\delta}(k), \quad (18)$$

где

$$\Pi_{\Gamma\Gamma}(k) = \int \frac{d^4 k'}{\pi^2 i} \int d\sigma_z \text{Tr} \left[\Gamma S_z \left(\frac{k' + k}{2} \right) \Gamma S_z \left(\frac{k' - k}{2} \right) \right], \quad (19)$$

$$\Gamma = \begin{cases} \gamma^5 & \text{для } \Pi_{PP}(k^2) \\ I & \text{для } \Pi_{SS}(k^2) \end{cases}$$

$$\Pi_{TT}^{\alpha\beta\gamma\delta}(k) = \int \frac{d^4 k'}{\pi^2 i} \int d\sigma_z \text{Tr} \left[\sigma^{\alpha\beta} S_z \left(\frac{k' + k}{2} \right) \sigma^{\gamma\delta} S_z \left(\frac{k' - k}{2} \right) \right], \quad (20)$$

Функции $\Pi_{\Gamma\Gamma}(k)$, $\Pi_{TT}^{\alpha\beta\gamma\delta}(k)$ соответствующие петлям легких кварков, не содержат ультрафиолетовых расходимостей благодаря *анзацу конфайнмента* для легких (u, d, s) кварков [23]. Под *анзацем конфайнмента* следует понимать определенную процедуру усреднения полей легких кварков по вакуумным глюонным конфигурациям. С математической точки зрения *анзац конфайнмента* состоит в определении интеграла

$$S(p) = \int d\sigma_z S_z(p) = \int d\sigma_z \frac{1}{z\Lambda_q - \hat{p}} = \frac{1}{\Lambda_q} \left[a \left(-\frac{p^2}{\Lambda_q^2} \right) + \frac{\hat{p}}{\Lambda_q} b \left(-\frac{p^2}{\Lambda_q^2} \right) \right] \quad (21)$$

В модели МКК постулируется, что функция $S(p)$ является аналитической функцией в комплексной плоскости \hat{p} . Функции конфайнмента $a(u)$ и $b(u)$ определяются формулами

$$a(u) = a_0 \exp(-u^2 - a_1 u), \quad b(u) = b_0 \exp(-u^2 + b_1 u) \quad (22)$$

Параметры a_i, b_i и Λ_q были зафиксированы из условия наилучшего описания экспериментальных данных низкоэнергетической адронной физики [23]:

$$a_0 = b_0 = 2, \quad a_1 = 1, \quad b_1 = 0.4, \quad \Lambda_q = 460 \text{ МэВ.}$$

Из эффективной теории тяжелого кварка (HQET) известно, что в пределе Изгура-Вайзе тяжелый кварк находится около своей массовой поверхности, т.е. для тяжелого кварка наступает инфракрасный режим. В абелевой теории инфракрасное поведение одночастичной функции Грина фермионного поля исследовано в целом ряде работ [36]-[38].

В частности *инфракрасный пропагатор* электрона имеет следующий вид:

$$S(p) \sim (m - \hat{p} - i\epsilon)^{-1} \left(1 - \frac{p^2}{m^2} \right)^{-\nu}, \quad (23)$$

где параметр ν связан с параметром λ , фиксирующим калибровку, выражением

$$\nu = \frac{\alpha_s}{4\pi} (3 - \lambda),$$

α_s - постоянная тонкой структуры.

Поскольку, в неабелевой теории вопрос об инфракрасной асимптотике одночастичной функции Грина до сих пор не решен, мы сделаем предположение относительно вида пропагатора тяжелого кварка, учитывая его инфракрасное поведение. В качестве первого приближения выбираем пропагатор в виде

$$S_Q(p, \nu) = S_0(p) D\left(\frac{p^2}{m_Q^2}, \nu\right), \quad (24)$$

где $S_0(p)$ - свободный дираковский пропагатор:

$$S_0(p) = \frac{1}{m_Q - \hat{p}},$$

множитель $D\left(\frac{p^2}{m_Q^2}, \nu\right)$ имеет вид

$$D\left(\frac{p^2}{m_Q^2}, \nu\right) = \left(1 - \frac{p^2}{m_Q^2} \right)^{-\nu}. \quad (25)$$

где ν - инфракрасный параметр. Импульсы начального p и конечного p' состояния выражаются через их 4-х скорости следующим образом

$$p^\mu = (m_Q + \bar{\Lambda})v^\mu \quad p'^\mu = (m_Q + \bar{\Lambda})v'^\mu,$$

здесь $\bar{\Lambda}$ -разность масс тяжелого бариона M_{B_Q} и тяжелого кварка m_Q (или энергия связи).

Множитель $D\left(\frac{p^2}{m_Q^2}, \nu\right)$, с одной стороны, характеризует эффект "одевания" тяжелого кварка "шубой" из "мягких" глюонов. С другой стороны, его можно рассматривать как формфактор, обеспечивающий сходимость интеграла по конфигурационному пространству. Действительно, вследствие анзаца конфайнмента интеграл по виртуальному импульсу k' в легкой петле достаточно хорошо сходится (см. (22)), в то же время структурные функции $\Pi_{\Gamma\Gamma}(k)$, $\Pi_{TT}^{\alpha\beta\gamma\delta}(k)$ убывают как $1/k^2$, что явно не достаточно для сходимости интеграла по виртуальному импульсу k . Эта проблема решается благодаря фактору $D\left(\frac{p^2}{m_Q^2}, \nu\right)$ в пропагаторе тяжелого кварка $S_Q(p, \nu)$ при любых положительных значениях инфракрасного параметра ν .

Итак, пропагатор (26) ведет к появлению двух дополнительных параметров: инфракрасного параметра ν и энергии связи $\bar{\Lambda}$. Необходимо отметить, что никаких экспериментальных ограничений на выбор параметра $\bar{\Lambda}$ не существует. Теоретическая оценка величины $\bar{\Lambda}$ была сделана Нойбертом с использованием техники правил сумм КХД [39].

В нашей модели при исследовании лептонных распадов тяжелых мезонов [40] было показано, что наилучшее согласие с экспериментальными результатами для слабых констант f_B и f_D достигается в случае, когда параметры $\bar{\Lambda}$ и ν меняются в пределах: $0 \leq \bar{\Lambda} \leq 0.6 \text{ ГэВ}$, $0 \leq \nu \leq 1$.

3 Функции Изгура-Вайзе тяжелых Λ_Q - и Σ_Q - барионов

В данном разделе остановимся на вычислении функций Изгура-Вайзе $\zeta(\omega)$, $\eta(\omega)$, $\iota(\omega)$ тяжелых Λ_Q - и Σ_Q - барионов, а также проверим - удовлетворяют ли вычисленные функции $\eta(\omega)$, $\iota(\omega)$ модельно-независимым ограничениям (неравенство Бьеркена-Ху).

Для получения явного вида барионных функций Изгура-Вайзе $\zeta(\omega)$, $\eta(\omega)$, $\iota(\omega)$ в структурных интегралах вершинных частей (20), (21) осуществляем переход к α - представлению Фейнмана, после чего полученные выражения раскладываем в ряд по $1/m_Q$. В лидирующем порядке по $1/m_Q$ имеем

$\Lambda_b \rightarrow \Lambda_c$

$$\Lambda_\mu^{(\Lambda)}(v, v') \propto \frac{g_{\Lambda_b} g_{\Lambda_c}}{(16\pi^2)^2} \int_0^\infty \int_0^\infty d\alpha_1 d\alpha_2 (\alpha_1 \alpha_2)^\nu \int_0^1 d\alpha_3 \int \frac{d^4 k}{\pi^{2i}} (1 + \hat{v}') O_\mu (1 + \hat{v}) R_{PP}(k, \alpha_1, \alpha_2, \alpha_3) \quad (26)$$

$\Sigma_b \rightarrow \Sigma_c$

$$\Lambda_\mu^{(\Sigma)}(v, v') \propto \frac{g_{\Sigma_b} g_{\Sigma_c}}{(16\pi^2)^2} \int_0^\infty \int_0^\infty d\alpha_1 d\alpha_2 (\alpha_1 \alpha_2)^\nu \int_0^1 d\alpha_3 \int \frac{d^4 k}{\pi^{2i}} \gamma_5 \sigma^{\alpha\beta} (1 + \hat{v}') O_\mu (1 + \hat{v}) \gamma_5 \sigma^{\gamma\delta} R_{TT}^{\alpha\beta, \gamma\delta}(k, \alpha_1, \alpha_2, \alpha_3) \quad (27)$$

где введены обозначения

$$R_{PP}(k, \alpha_1, \alpha_2, \alpha_3) = \int \frac{d^4 k'}{\pi^{2i}} \int d\sigma_z \text{tr} \left[\gamma_5 \left(z + \frac{k'+k}{2} \right) \gamma_5 \left(z + \frac{k'-k}{2} \right) \right] \frac{1}{\left[z^2 - \frac{k^2}{4} - \frac{k'^2}{4} - k k' \alpha_3 + 2k(\alpha_1 v + \alpha_2 v') - 2\bar{\Lambda}(\alpha_1 + \alpha_2) \right]^{2\nu+1}}, \quad (28)$$

$$R_{TT}^{\alpha\beta, \gamma\delta}(k, \alpha_1, \alpha_2, \alpha_3) = \int \frac{d^4 k'}{\pi^{2i}} \int d\sigma_z \text{tr} \left[\sigma^{\alpha\beta} \left(z + \frac{k'+k}{2} \right) \sigma^{\gamma\delta} \left(z + \frac{k'-k}{2} \right) \right] \frac{1}{\left[z^2 - \frac{k^2}{4} - \frac{k'^2}{4} - k k' \alpha_3 + 2k(\alpha_1 v + \alpha_2 v') - 2\bar{\Lambda}(\alpha_1 + \alpha_2) \right]^{2\nu+1}}, \quad (29)$$

Следующим шагом наших расчетов является вычисление трејсов и интегралов по виртуальным импульсам k, k' . После простых преобразований получим для формфакторов полупертоновых распадов $\Lambda_b(\Sigma_b) \rightarrow \Lambda_c(\Sigma_c)$

$\Lambda_b \rightarrow \Lambda_c$

$$F_1(\omega) = G_1(\omega) = \zeta(\omega) \\ F_i(\omega) = G_i(\omega) = 0 \quad (i = 2, 3). \quad (30)$$

$\Sigma_b \rightarrow \Sigma_c$

$$F_1(\omega) = G_1(\omega) = -\frac{1}{3}\zeta_1(\omega) \\ F_2(\omega) = F_3(\omega) = \frac{2}{3}\zeta_1(\omega) + \frac{1}{3}(\omega - 1)\zeta_2(\omega) \\ G_2(\omega) = G_3(\omega) = \frac{2}{3}\zeta_1(\omega) + \frac{1}{3}(\omega + 1)\zeta_2(\omega) \quad (31)$$

Функции $\zeta(\omega)$, $\zeta_1(\omega)$ и $\zeta_2(\omega)$ имеют вид отношений структурных интегралов

$$\zeta(\omega, \bar{\Lambda}, \nu) = \frac{\Phi_0(\omega, \bar{\Lambda}, \nu)}{\Phi_0(1, \bar{\Lambda}, \nu)} \quad (32)$$

$$\zeta_1(\omega, \bar{\Lambda}, \nu) = \frac{\Phi_1(\omega, \bar{\Lambda}, \nu)}{\Phi_1(1, \bar{\Lambda}, \nu)}, \quad \zeta_2(\omega, \bar{\Lambda}, \nu) = \frac{\Phi_2(\omega, \bar{\Lambda}, \nu)}{\Phi_1(1, \bar{\Lambda}, \nu)} \quad (33)$$

Явные выражения для функций Φ_0, Φ_1, Φ_2 при различных положительных значениях свободного параметра ν приведены в Приложении.

Теперь перейдем к обсуждению численных результатов. Как отмечалось выше, барнопные функции $\zeta(\omega)$, $\zeta_1(\omega)$ и $\zeta_2(\omega)$ зависят от двух свободных параметров, поэтому вначале проведем анализ чувствительности поведения функции $\zeta(\omega)$ распада $\Lambda_b \rightarrow \Lambda_c$ от различного выбора ν и $\bar{\Lambda}$; затем выясним как различные значения параметров влияют на выполнение неравенства Бьеркена-Ху для функций $\zeta_1(\omega)$ и $\zeta_2(\omega)$ распада $\Sigma_b \rightarrow \Sigma_c$.

Уместно подчеркнуть, что, несмотря на расходимость в структурном интеграле Φ_0 при $\nu_i = 0$, существует конечное выражение для функции $\zeta(\omega)$ при условии равенства нулю параметра $\bar{\Lambda}$, вследствие факторизации и последующем формальном сокращении расходимостей. На рис.3г представлена зависимость $\zeta(\omega)$ от ν при $\bar{\Lambda} = 0$.

На рис. 2 приведены семейства графиков зависимости формфактора ζ от кинематической переменной ω при фиксированных значениях $\nu = 0.2; 0.6; 1.0$ и меняющемся параметре $\bar{\Lambda}$: $0 \leq \bar{\Lambda} \leq 0.55$. Видно, что максимальное изменение функции $\zeta(\omega)$ при фиксированном ν и различных $\bar{\Lambda}$ не превышает 20 %:

для $\nu = 0.2$ — 20%;

для $\nu = 0.6$ — 17%;

для $\nu = 1.0$ — 18%.

Устойчивое поведение $\zeta(\omega)$ наблюдается в интервале $0.45 \leq \bar{\Lambda} \leq 0.55$, где изменения составляют лишь 2 % при $\nu = 0.6$ и 1 % при $\nu = 0.2; 1.0$.

Зависимость $\zeta(\omega)$ от варьирования инфракрасного параметра ν в пределах $0.2 \leq \nu \leq 1.0$ при фиксированном $\bar{\Lambda}$ отражена на рис. 3а,б,в. Значения параметра $\bar{\Lambda}$ выбираем из интервала $(0.45, \dots, 0.55)$, по вышеуказанной причине. Максимальная разница в поведении кривых составляет 8 % ($\bar{\Lambda} = 0.55$), минимальная - 6 % ($\bar{\Lambda} = 0.5$).

Итак, определив пределы устойчивости функции $\zeta(\omega)$ к изменениям свободных параметров, выбираем ν и $\bar{\Lambda}$ так, чтобы удовлетворить дипольному убыванию функции $\zeta(\omega)$ [30]. Отметим, что убывание функции Изгура-Вайзе $\zeta(\omega)$ в большей степени зависит от параметра ν , чем от $\bar{\Lambda}$.

На рис.4 для сравнения приведены результаты для функции Изгура-Вайзе распада $\Lambda_b \rightarrow \Lambda_c$ в нашей модели ($\nu = 1.0$ и $\bar{\Lambda} = 0.5$; параметры фитированы по дипольному убыванию функции $\zeta(\omega)$), в рамках правил сумм КХД и эффективной теории НQET [30], [27].

Другой важной величиной является радиус функции Изгура-Вайзе, который характеризует угол наклона

$$\rho^2 = -\zeta'(1).$$

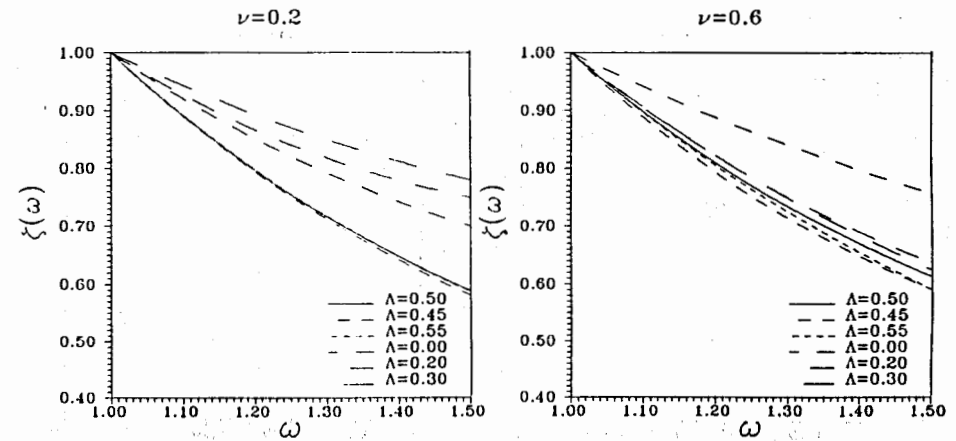


Рис.2а.

Рис.2б.

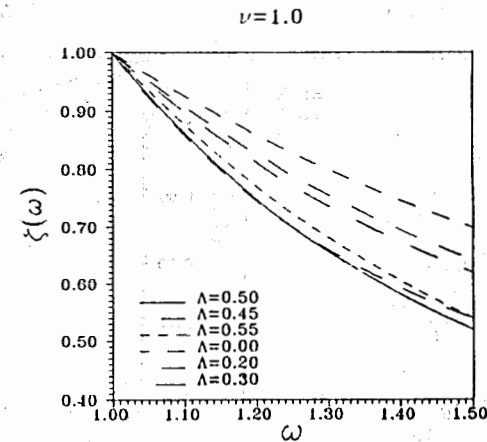


Рис.2в.

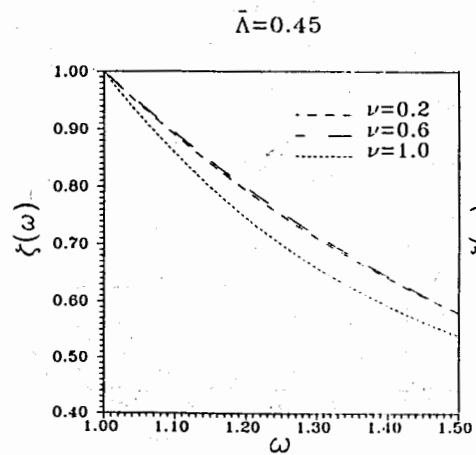


Рис.3а.

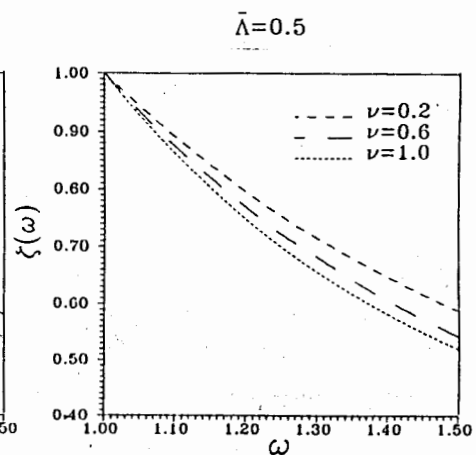


Рис.3б.

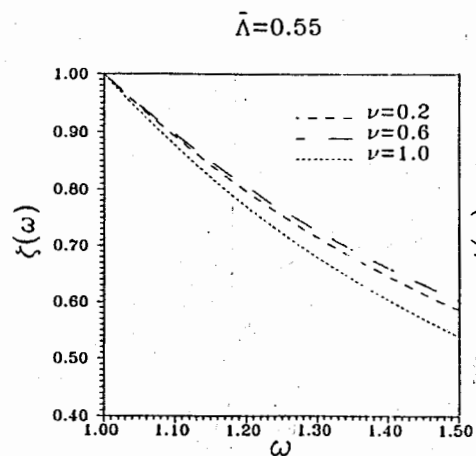


Рис.3в.

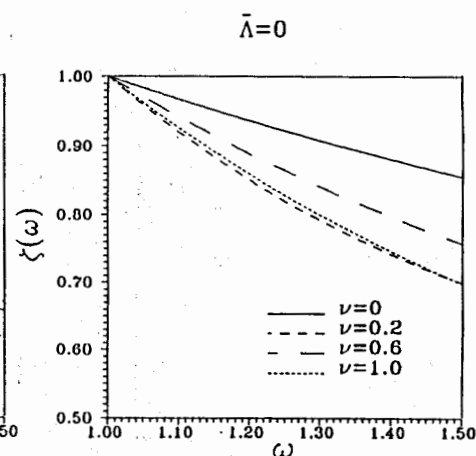


Рис.3г.

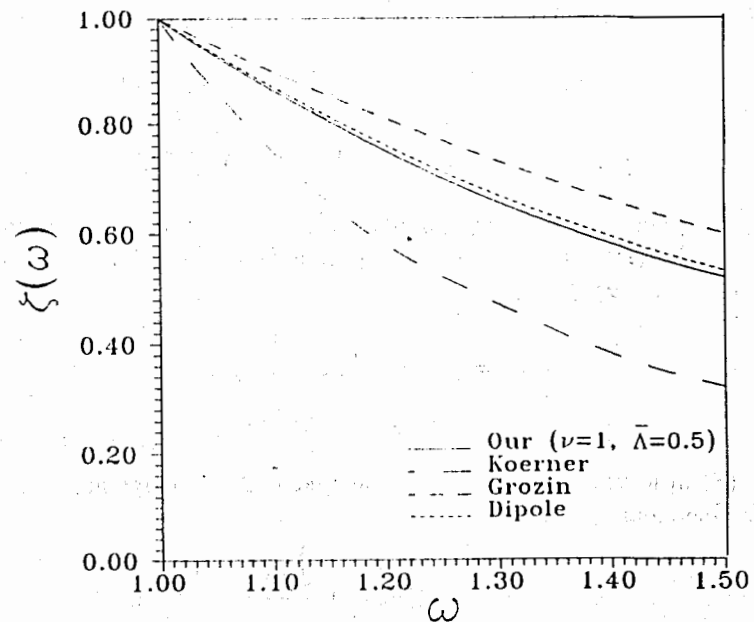


Рис.4.

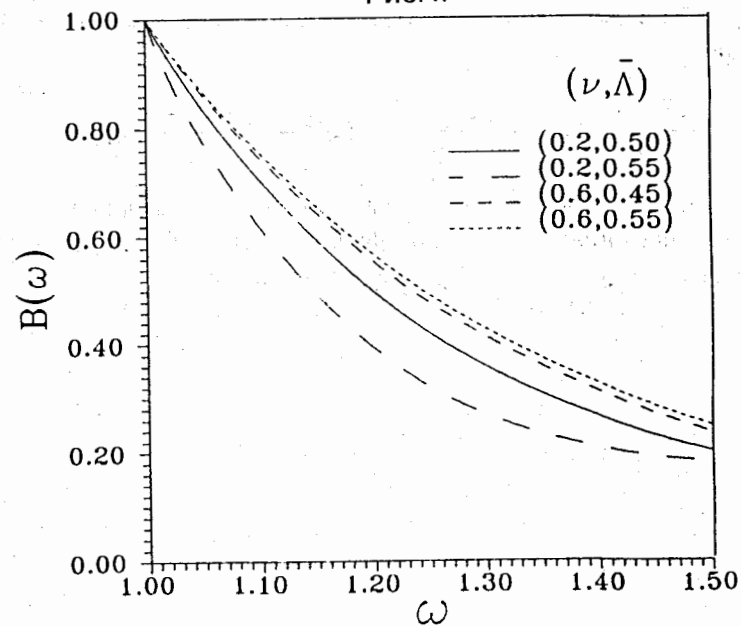


Рис.5.

Результаты для радиуса

$$\begin{aligned} 1.09 \leq \rho^2 \leq 1.20 \quad (\nu = 0.2, 0 \leq \bar{\Lambda} \leq 0.55) \\ 1.06 \leq \rho^2 \leq 1.23 \quad (\nu = 0.6, 0 \leq \bar{\Lambda} \leq 0.55) \\ 1.12 \leq \rho^2 \leq 1.50 \quad (\nu = 1.0, 0 \leq \bar{\Lambda} \leq 0.55). \end{aligned} \quad (34)$$

Теперь перейдем к анализу распада $\Sigma_b \rightarrow \Sigma_c$. Выразим барионные функции $\eta(\omega)$, $\iota(\omega)$, полученные Изгуром и Вайзе в работе [25], через наши функции $\zeta_1(\omega)$, $\zeta_2(\omega)$:

$$\begin{aligned} \eta(\omega) &= \zeta_1(\omega) + \frac{1}{2}(\omega - 1)\zeta_2(\omega) \\ \iota(\omega) &= -2\zeta_1(\omega) - \omega\zeta_2(\omega) \end{aligned} \quad (35)$$

с учетом (8) приходим к неравенству Бьеркена-Ху, следующему из правил сумм Бьеркена

$$1 \geq \frac{2\omega^2 + 1}{3} \zeta_1(\omega)^2 + \frac{(\omega^2 - 1)^2}{6} \zeta_2(\omega)^2 + \frac{2\omega(\omega^2 - 1)}{3} \zeta_1(\omega)\zeta_2(\omega). \quad (36)$$

На рис. 5 представлены результаты для функции $B(\omega)$, которая определена как

$$B(\omega) = \frac{2\omega^2 + 1}{3} \zeta_1(\omega)^2 + \frac{(\omega^2 - 1)^2}{6} \zeta_2(\omega)^2 + \frac{2\omega(\omega^2 - 1)}{3} \zeta_1(\omega)\zeta_2(\omega), \quad (37)$$

при различных выборах параметров модели ν , $\bar{\Lambda}$, можно увидеть, что при любых значениях параметров функции $\zeta_1(\omega)$, $\zeta_2(\omega)$ удовлетворяют неравенству, следующему из правил сумм Бьеркена.

4 Приложение

Приведем явные выражения для функций Φ_0 , Φ_1 , Φ_2 для различных значений ν из интервала $0 < \nu \leq 1$.

1) Распад $\Lambda_b \rightarrow \Lambda_c$

$0 < \nu < 0.5$

$$\begin{aligned} \Phi_0(\omega, \bar{\Lambda}, \nu) &= \int_0^1 d\alpha [\alpha(1-\alpha)]^{\nu-1} \int_0^1 d\tau \tau^\nu (1-\tau^2)^{\frac{\nu}{2}-\frac{1}{2}} \\ &\int_0^\infty d\beta \beta^{1+2\nu} \int_0^\infty dt t^{1-2\nu} \\ &\left((2\nu - 3)b(\Delta + t) - \chi_0 b'(\Delta + t) \right) \end{aligned} \quad (38)$$

$\nu = 0.5$

$$\begin{aligned} \Phi_0(\omega, \bar{\Lambda}, \nu) &= \frac{\bar{\Lambda}}{3} \int_0^1 d\alpha \int_0^1 d\tau \tau^{\frac{1}{2}} (1-\tau^2)^{-\frac{1}{4}} \\ &(\tau + \sqrt{1-\tau^2}) \int_0^\infty d\beta \beta^3 b(\Delta) \end{aligned} \quad (39)$$

$0.5 < \nu < 1.0$

$$\begin{aligned} \Phi_0(\omega, \bar{\Lambda}, \nu) &= \int_0^1 d\alpha [\alpha(1-\alpha)]^{\nu-1} \int_0^1 d\tau \tau^\nu (1-\tau^2)^{\frac{\nu}{2}-\frac{1}{2}} \\ &\int_0^\infty d\beta \beta^{1+2\nu} \int_0^\infty dt t^{2-2\nu} \\ &\left(\chi_0 b''(\Delta + t) - (2\nu - 3)b'(\Delta + t) \right) \end{aligned} \quad (40)$$

$\nu = 1.0$

$$\Phi_0(\omega, \bar{\Lambda}, \nu) = - \int_0^1 d\alpha \int_0^1 d\tau \tau \int_0^\infty d\beta \beta^3 \left(\frac{1}{8} b(\Delta) + \frac{1}{12} \chi_0 b'(\Delta) \right) \quad (41)$$

2) Распад $\Sigma_b \rightarrow \Sigma_c$

$0 < \nu < 0.5$

$$\Phi_1(\omega, \bar{\Lambda}, \nu) = \int_0^1 d\alpha [\alpha(1-\alpha)]^{\nu-1} \int_0^1 d\tau \tau^\nu (1-\tau^2)^{\frac{\nu}{2}-\frac{1}{2}} \int_0^\infty d\beta \beta^{1+2\nu} \int_0^\infty dt t^{1-2\nu} \left(b(\Delta+t) - \frac{\chi_1}{2\nu+1} b'(\Delta+t) \right) \quad (42)$$

$$\Phi_2(\omega, \bar{\Lambda}, \nu) = \int_0^1 d\alpha [\alpha(1-\alpha)]^{\nu-2} \int_0^1 d\tau \tau^{\nu+1} (1-\tau^2)^{\frac{\nu}{2}} \int_0^\infty d\beta \beta^{2+2\nu} \int_0^\infty dt t^{1-2\nu} \frac{\chi_2}{2\nu+1} b'(\Delta+t) \quad (43)$$

$0.5 < \nu < 1$

$$\Phi_1(\omega, \bar{\Lambda}, \nu) = \int_0^1 d\alpha [\alpha(1-\alpha)]^{\nu-1} \int_0^1 d\tau \tau^\nu (1-\tau^2)^{\frac{\nu}{2}-\frac{1}{2}} \int_0^\infty d\beta \beta^{1+2\nu} \int_0^\infty dt t^{2-2\nu} \left(\frac{\chi_1}{2\nu+1} b''(\Delta+t) - b'(\Delta+t) \right) \quad (44)$$

$$\Phi_2(\omega, \bar{\Lambda}, \nu) = \int_0^1 d\alpha [\alpha(1-\alpha)]^{\nu-2} \int_0^1 d\tau \tau^{\nu+1} (1-\tau^2)^{\frac{\nu}{2}} \int_0^\infty d\beta \beta^{2+2\nu} \int_0^\infty dt t^{2-2\nu} \frac{\chi_2}{2\nu+1} b''(\Delta+t) \quad (45)$$

где введены обозначения

$$\begin{aligned} \chi_0 &= \beta^2(1 + 2\omega\tau\sqrt{1-\tau^2}) \\ \chi_1 &= \frac{3 - 12\alpha(1-\alpha)}{16\alpha(1-\alpha)} + 2\bar{\Lambda}\sqrt{\alpha(1-\alpha)}\beta(\tau + \sqrt{1-\tau^2}) \\ \chi_2 &= \alpha(1-\alpha) + \frac{3}{4} \\ \Delta &= \chi_0 - 2\bar{\Lambda}\sqrt{\alpha(1-\alpha)}\beta(\tau + \sqrt{1-\tau^2}) \end{aligned} \quad (46)$$

References

- [1] ARGUS Collab., Albrecht H., et al. - Phys. Lett.B, 1989, **V.229**, No. 1,2, pp.175-180; Phys. Lett.B, 1992, **V.275**, No.1,2, pp.195-201; Preprint **DESY 92-46**, 1991.
- [2] CLEO Collab., Fulton R., et al. - Phys.Rev.D, 1991, **V.43**, No.3, pp.651-663.
- [3] E653 Collab., Kodama K., et al. - Phys. Lett.B, 1992, **V.274**, No.2, pp.246-252.
- [4] CLEO Collab., Bergfeld T., et al. - Phys.Lett., 1994, **V.323**, No.2, pp.219-226.
- [5] ARGUS Collab., Albrecht H., et al. - Phys.Lett.B, 1992, **V.274**, No.2, pp.239-245.
- [6] UA1 Collab., Albajar C., et al. - Phys.Lett.B, 1991, **V.273**, No.4, pp.540-548.
- [7] ALEPH Collab., Buskulic D., et al. - Phys.Lett.B, 1992, **V.294**, No.1, pp.145-156.
- [8] OPAL Collab., Acton P.D., et al. - Phys.Lett.B, 1992, **V.281**, No.3,4, pp.394-401.
- [9] DELPHI Collab., Abreu P., et al. - Phys.Lett.B, 1993, **V.312**, No.1,2, pp.253-266.
- [10] Isgur N., Wise M. - Phys.Lett.B, 1989, **V.232**, No.1, pp.113-117.
- [11] Isgur N., Wise M. - Phys.Lett.B, 1990, **V.237**, No.3,4, pp.527-530.
- [12] Georgi H. - Phys.Lett.B, 1990, **V.240**, No.3,4, pp.447-450.
- [13] Bjorken J.D. - Preprint **SLAC-PUB-5278**, 1990.
- [14] Grinstein B. - Nucl. Phys.B, 1990, **V.339**, No.2, pp.253-274.
- [15] Eichten E., Hill B. - Phys.Lett.B, 1990, **V.234**, No.4, pp.511-516; Phys. Lett.B, 1990, **V.243**, No.4, pp.427-431.
- [16] Falk A.F., Georgi H., Grinstein B., Wise M.B. - Nucl.Phys.B, 1990, **V.343**, No.1, pp.1-13.
- [17] Manneil T., Roberts W., Ryzak Z. - Nucl.Phys.B, 1991, **V.355**, No.1, pp.38-53.
- [18] Manneil T., Roberts W., Ryzak Z. - Nucl.Phys.B, 1991, **V.368**, No.1, pp.204-217.
- [19] Falk A.F., Grinstein B. and Luke M.E. - Nucl.Phys.B, 1991, **V.357**, No.1, pp.185-207.
- [20] Isgur N., Wise M. - Phys.Rev.D, 1991, **V.43**, No.3, pp.810-818.
- [21] Neubert M. and Rieckert V. - Nucl.Phys.B, 1992, **V.382**, No.1, pp.97-119.
- [22] Ivanov M.A., Khomutenko O.E., Mizutani T. - Phys.Rev.D, 1992, **V.46**, No.9, pp.3817-3831.
- [23] Efimov G.V. and Ivanov M.A. The Quark Confinement Model of Hadrons. - IOP Publishing, Bristol & Philadelphia, 1993.
- [24] Radyushkin A.V. - Phys.Lett.B, 1991, **V.271**, No.1,2, pp.218-222.
- [25] Isgur N., Wise M. - Nucl.Phys.B, 1991, **V.348**, No.2, pp.276-292.
- [26] Grinstein B., et al. - Nucl.Phys.B, 1991, **V.363**, No.1, pp.19-33.
- [27] Grozin A.G. and Yakovlev O.I. - Phys. Lett.B, 1992, **V.291**, No.3,4, pp.441-447.
- [28] Singleton R.Jr. - Phys.Rev.D., 1991, **V.43**, No.9, pp.2939-2950.
- [29] Guo X.-H., Kroll P. - Z.Phys.C, 1993, **V.59**, No.4, pp. 567-574.
- [30] König, Körner J.G., Krämer M., Kroll P. - Preprint **DESY 93-011**, 1993.
- [31] Xu Q.P. - Phys.Rev.D, 1993, **V.48**, No.11, pp.5429-5432.
- [32] Efimov G.V., Ivanov M.A., Kulimanova N.B., Lyubovitskij V.E. - Z.Phys.C, 1992, **V.54**, No.4, pp.349-356.
- [33] Efimov G.V., Ivanov M.A., Lyubovitskij V.E. - Few-Body Systems, 1989, **V.6**, No.1, pp.17-43.
- [34] Efimov G.V., Ivanov M.A., Lyubovitskij V.E. - Z.Phys.C, 1990, **V.47**, No.4, pp.583-594.

- [35] Particle Properties Data. - Phys.Lett.B, 1990, V.239, No.1, p.1.
- [36] N.N.Bogolubov, D.V.Shirkov, Introduction to the Theory of Quantized Fields, Interscience Publishers Inc., New York, 1959.
- [37] Karanikas A.I., Ktorides C.N. and Stefanis N.G. - Phys.Lett.B, 1993, V.301, No.4, pp.397-404.
- [38] D.Zwanziger, Phys. Rev. D11, 3481 (1975).
- [39] Neubert M. - Phys.Rev.D, 1992, V.45, No.7, pp.2451-2466.
- [40] Ivanov M.A., Mizutani T. -Preprint hep-ph/9406226.

Рукопись поступила в издательский отдел
31 января 1995 года.

Аникин И.В., Иванов М.А., Любовицкий В.Е. P2-95-33
Проверка неравенства Бьеркена — Ху
для функций Изгура — Вайзе тяжелых барионов

Λ_Q - и Σ_Q -барионы ($Q = b, c$) рассматриваются как трехкварковые системы в модели конфайнированных кварков в пределе бесконечно больших масс тяжелых кварков (предел Изгура — Вайзе). На основе представлений эффективной теории HQET о том, что тяжелый кварк в пределе Изгура — Вайзе находится вблизи своей массовой поверхности рассматривается инфракрасный режим для пропагатора тяжелого кварка. В качестве первого приближения для «инфрапропатора» тяжелого кварка используется результат абелевой теории. Вычисляются барионные функции Изгура — Вайзе. Показано, что формфакторы полуплептонного распада $\Sigma_b \rightarrow \Sigma_c \bar{\nu}_l$ удовлетворяют модельно-независимому неравенству Бьеркена — Ху.

Работа выполнена в Лаборатории теоретической физики им. Н.Н.Боголюбова ОИЯИ при финансовой поддержке РФФИ, контракт №94-02-03463, и МНФ, контракт №SDF000.

Препринт Объединенного института ядерных исследований. Дубна, 1995

Перевод авторов

Anikin I.V., Ivanov M.A., Lyubovitskij V.E. P2-95-33
Test of the Bjorken-Xu Inequality
for Baryonic Isgur-Wise Functions

The Λ_Q - and Σ_Q -baryons ($Q = b, c$) are considered as three-quark systems within the Quark Confinement Model in the heavy quark limit (the Isgur-Wise limit). Using the basic notion of the effective HQET that a heavy quark is near its mass-shell in the quark limit, the «infrared» regim for a heavy quark propagator is considered. As the first approximation we use the «infrapropagator» of Abelian theory for a heavy quark propagator. The baryonic Isgur-Wise functions are calculated. It is shown that form factors of semileptonic decays $\Sigma_b \rightarrow \Sigma_c \bar{\nu}_l$ satisfy the model-independent inequality.

The investigation has been performed at the Bogoliubov Laboratory of Theoretical Physics, JINR, under the financial support of the RFRF, contract No 94-02-03463, and the ISF, contract №SDF000.

Preprint of the Joint Institute for Nuclear Research. Dubna, 1995